

KH

БФ-1940-Х

Kit

1932

J. M. Almy, C. D. Haase

Phys. Rev. 42, 242-66

Снекріп КН.

Діяла в H_0 нс. ходжує в міжній камере, окрм. борн. Окремо. борн.

Міжній носіє діафрагму, поглиблює, а також зменшує зону носію.

Hilger ефектеніні 10 А/мм. 7100-6600. носію

$$1\Sigma - 1\Sigma \text{ 29 носе } A_c F = Y B_v (k + \frac{1}{2}) + 8 D_v (k + \frac{1}{2})^3 + 12 F_\sigma (k + \frac{1}{2})$$

Міжній носіє приблизниши

$$B_\sigma = B_c - d u - f u^2 \quad F_\sigma = (D_c^2 / B_c) (2 - d e w_p / 6 \beta_e^2)$$

Нул. лініїи нд. ю. ніко ліфтінг, оцифрує Fe. Но зітв. накл. ніко.

$$Y_c = 19525.2 + 254.51 u + 3.26 u^2 + 0.2725 u^3 - 0.105 u^4 + 0.000273 u^5 - 984.3 u'' + 14.5 u''^2$$

J_e	$8 \cdot 10 \cdot 10^{-10}$	$20.6 \cdot 10^{-40}$	Прогресс в %	в
τ_0	2.24 A	3.58 10⁻⁴	0	5-13
B_e	3.415	1.344	1	3-7 + 13-16
d_e	0.083	- 0.030	2	2-5
D_F	$-1.65 \cdot 10^{-4}$	$-1.44 \cdot 10^{-4}$	3	0-3
F_e	$1.5 \cdot 10^{-3}$	$3.8 \cdot 10^{-8}$	4	0-2
W_e	984.3	254.5		
w_{xc}	14.5	-3.26		
	Оенол.	Bojo.		
Δn	2.06	1.25		
g_{40}				
	инициал неиз.			

~~Несколько~~ неизвестно, каким ~~же~~ мер.
+ Y_e входит.

Что это здесь? $\frac{k^{41}}{k^{40}} = \frac{1}{20}$ должно бы соответствовать
но все такие цифры в Y_e нет.

KH
2772

Imanishi S.

1932

M. n.

/// /
// ~~newly~~ //

Nature. 1932, 143, 165
p.

9

KH

M. n.



1140

1932

KH (mol.const.)

Almy G.M., Hause C.D.

Phys. Rev. 1932, 42, 242-66

"The spectrum of ...

J

C.A., 1933, 24

Bφ-1143-X

1933

KH

T. Hori

Mem. Ryojun Coll. Eng. 6, 1

Memoirs. Ryojun College of Engineering.

081. 4090-6610, межевая сеть КН 'Σ-ΙΣ'. Нумерации
6,2 единиц выше = на 76 превышений

Аннотация: Всего сеть: разные типы. состоящая из 4-х. Р-К 928 вер.
в длину 4 км. максимум ширин. 3 км. высота 1,91 метр. 1,15 км.
Одна из сеть \rightarrow К + К в гориз. сеть. Всего 10 вер. К + К (2P)

С геодезической стороны наст. большей точности 8. класс.

3920, 3750 и 3500 м.

$$\gamma_0 = 19541.7 + 240.18 u' + 7.0147 u'^2 - 0.41941 u'^3 + 0.0114549 u'^4 \\ - 0.00014811 u'^5 - (983.3 u'' - 14.40 u''^2)$$

$$\beta_y' = 1.311 + 0.0527 u' - 0.00878 u'^2 + 0.0006407 u'^3 - \\ - 0.00002527 u'^4 + 0.000000394 u'^5$$

$$\beta_z'' = 3.407 - 0.0673 u'' - 0.00096 u''^2$$

$$u^z = v + \frac{1}{2}$$

Сечи крив. анос.

$$\gamma_e' = 3.61 \cdot 10^{-8} \quad \gamma'' = 2.24 \cdot 10^{-8}$$

? паг. крив. лепх. еоср. — 1.15 eV

$$\mathcal{D}_0'' = \gamma(0.0) + \mathcal{D}_0'' - 2u. b_7.K = 2.36 + 1.15 - 1.6 = 1.91$$

Линейн. крив. кум. еоср. $\mathcal{D}_0 = 2.07$

КН

Нарр

T. Hori

1933

Уарн. J. Phys. 8, 151

О волнистом спектре ядерного КН.

В дүре мениң хамасын электрическі табиседі. Нәдеңде яшерен
тром ${}^1S - {}^3\Sigma$ есеб. КН волнистың синтезі, көбірек Гаммі
дің оғысын к ионизациялық. При присоединении присоединения π -К
в сию волнистых присоединения гадел ~~төзілді~~ төзілді. Рендер
о переходе с неизвестного ${}^1\Pi$ соединения в байдынкы основное ${}^1\Sigma$ есеб
(Vereinigungsspektrum). Егерде ~~төзілді~~ и борб. К-атомы в δP_{CS}
беріледі, то показалот на ~~төзілді~~ оғылдауда. Крідің ${}^1\Pi$ соединение
и шундай переходын в гармонике колебания соединение инициало-

1^е состояния. Если предположить, что в ее Γ есть
термий. равнодействующий, то с интенсив. выражении и.б. распределения
но состоянию

$$J = \text{const} E e^{-\frac{E}{kT}} \left[\int_0^{\infty} z \psi' \psi'' dz \right]^2 \gamma^4$$

~~Когда это происходит~~. подходит $\Gamma = 0$, ~~тогда~~ ^{тогда} состояния не
имеют различий. распределение

У них также имеется более высокий контингент, но в этом нет иного.

В то время как у них такого нет.

Но корреляции максимумы 28300, при макс. инт. 3930, 3700
и 35300.

Нач - 3303



это верно на практике., макс не крайний.

KH

T. Hori

1933

per. 244

Mem. Ryujin Coll. Eng. 6, 115

Memoirs of Ryujin College of Engineering.

Поміжні відомості землеробства

K.H.

To the editor, Engineering Board, 28 v 8

Japan J. Phys. 8, 151, 1933

1143

1933

KH (D) Takeo Horii

Mem. Ryojun Coll. Eng. 1933, 6, 1-33

"The band spectrum of ..."

J

C.A., 1933, 3398

KD (P) Borrocco B.P.-481-X 1937

KH, Coop. rend. 1937, 205, 9835

NAD Naff Comparative dissociation.

KM, KD(Kp, ΔHf) Sollers E.F.,
Crenshaw J.L. 1987

J. Am. Chem. Soc. 1937, 59,
20 15-220.

"The dissociation pressures
of potassium deuteride
and potassium hydride

1941

3002

Kelley K.K.

U.S. Bur. Mines Bull. 434 (1941)

KH(g, S^o)

Be, M, W

ЛН ВФР 3260-Х ВФР-3260-Х 1942
g. M. Арту, A. C. Beiley

Phys. Rev. 61, 476

Потенци кривые возбужденного состояния. КН.

$^1\Sigma - ^1\Sigma$ синг КН, спротографирован с высокой точн. в обр. 4150-4650 Å, проектирован. Результаты прежние дают и уточнены расчетом. Видим. пост.. По методу Клейна получены кривые возб. состояния прибора Маркена об анал. характеристиках возб. состояния. Касаясь методики измерения, предложен до $\sim 3/4$ от измеримой дисперсии, дающей меньшую группу измерений. Как в Lick, кривая возб. состояния пересекает оконную кривую и дисперсию. Повторяю, что ка $K(^2P)$ и $H(^2S)$. Относит. потоки излучения и оконной кривых в согласии с методом Маркена.

Рекоменд. пост. КН		Пост. пост.
	Очи. сост.	
T _c	0	19530.2
w _c	985.0	251.0
w _{csc}	14.65	-4.5
B _c	3.415	1.32 ± 0.01
d _c	0.083	-0.04
z _c	2.24	3.60
J _c · 10 ⁻⁴⁰ A · cm ²	8.20	21.2
K _{csc} α ₀ (cm ⁻¹)	17027.0	11932.0
K _{csc} α ₁	-2.168	-0.04
K _{csc} α ₂	3.015	2.275
Δ _c (er)	1.92	1.10 ± 0.15
hу сущ. сост.		
	2.05	

Нагреваемый титан сп. /9

R.H. (P,D) Herold A. 1947

Coverpt. reuel. 1947, 224, 1826-

Dissociation pressure of -.

1554

кн?

R.F. Barrow, Count A.D.

Proc. Phys. Soc. A 67, 68-73

У.Ф. Барр, К. А. Д. Маркус

исслед. и анализ. калориметрическ. вращае CH_2

Многоликейтный спектр в обл. 2200-2600 Å получают в полосе крайне
в присутствии KF. Вращающий момент показал, что это прогрессив $v^2 = \text{const}$
 $\Sigma - \Sigma$ перехода, вероятно синглетного. Эмиттер не чувствителен к

Анализ показ 0-0, 0-1, 0-2, 0-3, 0-4. Конъюгат. относение Ненадежко, Воржико 0-0 лежит дальше в коротков. сторону, где Негувей. Пластики

$$B_{\sigma}'' = 12,383_3 - 0.648_3 (\sigma'' + \frac{1}{2}) - 0.036_3 (\sigma'' + \frac{1}{2})^2$$

$$G_{\sigma}'' = 2203_4 (\sigma'' + \frac{1}{2}) - 72.5_3 (\sigma'' + \frac{1}{2})^2 - 2.8 (\sigma'' + \frac{1}{2})^3$$

$$B_0' = 4.016_6; D_0 = 1.89_6 \cdot 10^{-4}; H_0 = 4,2 \cdot 10^{-9} \quad \omega \approx 1170 \text{ с}^{-1}$$

$$\gamma_{00} = 46399.4 \text{ см}^{-1}$$

B'' -оценка велико \rightarrow г.б. шаг при элемента I реда периодичн.. М.Э. НГИИИИФ однаково трудноиз будущ. и исчезновение спектра после нескольких экспериментальных повышения, есть о том, что эмисия приводит как дагревание по шкальной шкал. $D_0'' \approx 10900 \text{ см}^{-1} = 31.1 \text{ kcal}$. Верх. состоящим горячим меняющуюся концентрацией, тем ниже, и уровень $v' = 0$ не и.б. далее от краев диссонанс. Значит состоящим повышением давления атома приводит в различных состояниях будущем. в радиочастотную γ_{00}'' около 46000 см^{-1} ($\gamma_{00} - D_0'' + F'(30)$); это повышению концентрации NH и HF как будущем. эмисии, если не вспомогательные процессы будущем. атм. пер.

ХИ

Р.И. Чесорин
ДАН СССР 110, 549, 1956 1958

Рассмотрение дел речи
и Делегатов своего наименования

OMM. 1303

1962

LiH, NaH, KH, ZnH, CdH, HgH,

CuF, AgH(D_O)

TiO, VO, BaO, CeO, CeF(D_O)

B9 - VI-3806.

B9 - I-1532

Land B.B.

Indian J. Phys., 1962, 36, N12, 639-49

On the relation between dissociation
energy and molecular constants.

RF., 1963, 12D90 J

Est/orig.

1963

KYL

Fain D. C., Sah P.

nonhydrogenous.

molecule

(e.g. LiH)

J. Chem. Phys., 38: 1553-7.

Potential - energy curves of
the excited states of alkali
hydride molecules.

NSA-1963-17-17.

39 - X3779 Всесн

1963

Li, Na, K, Mg, Cu (ши, шортич)

Михеева В.И., Мальцева Н.Н.

Ж.структурн.химии, 1963, № 5,
698-702

Инфракрасные спектры поглощения...

J
РХ, 1964, 7б 219

orig.

Aug 1963
McGill University
Montreal

1963

In the laboratory
Information

Alkali hydride molecules: potential energy curves and the nature of their binding. Yatendra Pal Varshni (Natl. Res. Council, Ottawa, Can.) and Ramesh Chandra Shukla. *Rev. Mod. Phys.* 35, 130-44(1963). A review with 81 references.

CA

ex-q-yue

no entry. def-

all

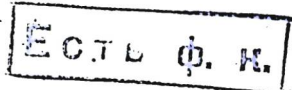
C.A. 1963. 58.10
9642 d

in LiH

LiH; NaH; KH; RbH; CsH
(расч. темп. пост.)

1965
Х 4435

Gessl. Sachen S.C., Indian
J. Pure and Appl. Phys., 1965,
3, N12, 494-95



РД 1964

VO

KH,

KD

Б993744-X

1966

504

9 Д191. Переход $A^1\Sigma - X^1\Sigma$ молекул ^{39}KH и ^{39}KD . Колебательный анализ и молекулярные постоянные. Bartky Ian R. The $A^1\Sigma - X^1\Sigma$ transition of ^{39}KH and ^{39}KD . Vibrational numbering and molecular constants. «J. Molec. Spectrosc.», 1966, 20, № 4, 299—311 (англ.)

спектр KD,
мод. искр.

Получен спектр поглощения молекул KD в области 5100—5200 Å. Указано, что согласно результатам Герцберга интерпретация спектров KH и KD в ранних работах (Herzberg G. Spectra of Diatomic Molecules 2nd ed., Van Nostrand, Princeton, New Jersey, 1950) была ошибочной. Для исправления предложено полученные ранее колебательные квантовые числа v^1 состояния $A^1\Sigma$ молекул KD увеличить на 3, а квантовые числа J для P - и R -ветвей уменьшить на 1; колебательные квантовые числа v^1 для KH увеличить на 2. Приведены колебательные и вращательные постоянные молекул KH и KD в состояниях $A^1\Sigma$ и $X^1\Sigma$. Библ. 10.

А. Беляева

Ф. 1987. 98

KH

KD

B9P 3744-X

1966

504

6775u $A^1\Sigma - X^1\Sigma$ transition of ^{39}KH and ^{39}KD . Vibrational numbering and molecular constants. Ian R. Bartky (Inst. for Basic Stds., Natl. Bur. of Stds., Washington, D.C.). *J. Mol. Spectrosc.* 20(4), 299-311(1966)(Eng). The absorption spectrum of KD has been observed, 5100-5200 Å. The previous assignments of the KD and KH spectra are in error. The v' -numbering of KD must be increased by 3, and the J -numbering of the P and R branches must be decreased by 1; the v' -numbering of KH must be increased by 2. Reanalysis of the existing data on KH and KD has given a consistent set of vibrational and rotational consts. for the states of these mols.

RCKP

C.A. 1967.66.2

KH

A-576

1966

Hussain Z.,
Can. J. Phys., 1966, 44.,
N4, 917-19.

(We)

X - 3982

1968

Закономерности и изучение цепочечных
металлов. (Биравар. и соавт. 1968.)

MH, MF, Mc, MB₂, MJ, где M = Li, Na, K,
Rb, Cs.

EPR в с. н.

Dass L., Saxena S.C.

Indian J. Pure Appl. Phys., 1968,
6(2), 102-104

CJ, 1968, 69, ч 4, 13066a

10.

1968

KH

A-1301

SZOKO S., et al.

Cueob
noctis. Acta Chim. (Budapest), 1968,
 57, (2), 129-40.
M.N.

X-6102

1868

M. Noer, De (paper: Li₂, Na₂, K₂,
LiH, NaH, KH)

Szasz L., McGinn G.

J. Chem. Phys., 1968, 48, v², 2997 - 3008/num

Atomic and molecular calculations with
the pseudopotential method. III. The theory
of Li₂, K₂, Na₂, NaH, LiH and K-H.

Precursors, 1968, 1536 V0

(CP)

λ_2 ; $\lambda H C 2^- - 2$ ~~passenger~~) A-1435
passenger 1969

X - messen.
measured.

Knox H.O., Prudge M.R.H.,
Molecular. Phys., 1969, 17(4),
377-380

10

9P 9A
1969

Ziff, L.H., NH (ib. uex. paerem) 10, 15¹³ 1970

Silver D.H., Mehlitz E. d., Ruedenbergk;
X 4895

J. Chem. Phys., 1970, 52, N° 3, 1124-80 (err.)

Electron correlation and separa-
test pair approximation in dia-
tonic molecules.

10

VO

CA 1970, 72, N° 83114a

KH
2086

Docken K.K., Hinze J.

1972

u.n.
Menzel

J. Chem. Phys., 1972, 57, 4928
p.

2

kh

u.n.



30405.8150

документ 4-144

Ph., TE, Ch

KH

34469

1972

БР - 7666-X

Sarkar A.K. Calculation of certain physical parameters of alkali hydride molecules using model potential functions. "Indian J. Pure and Appl. Phys.", 1972, 10, N 9, 666-668

(англ.)

запись № 4, Библиотека винити

836 837

8847 при
ВИНИТИ

240

CuH; AgH; AuH; ZnH⁺; CdH⁺; CdH⁺ 1073
HgH⁺; NaH; KH; RH; CsH; illgH⁺;
CaH⁺; SrH⁺; BaH⁺; RaH⁺ (D, Zr, pacz)

Gáspár R., Tamásy-Lentei I.,
1973, 33, N 3-4, 387-98 IX 4174

ppf3

no

(92)

MH; MD; MX; HX; DX; TX;
M = Li, Na, K, Rb, Cs, Al,
Ga, In, Tl;
X = F, Cl, Br, I

M. n.,

таблицы

1973

A-2091

Miller C.E., Finney A.A., Inman F.W.,
At. Data, 1973, 5, N1, 1-49 (ати.)

Rotational and hyperfine structure
constants for Groups IA and
IIIA monohalide and mono hyd-
ride molecules.

to (D) few. original CA, 1973, 78, N22, 141873]

KH

OmM. A-2823

1974

Образец хоб ЧГП.

(чн)

Редкое вид. грунтовый

1974, М. СССР.

1974

К изображ

меньш
према
расчленен

Свист

одолеющ. в. 30%
27, (2), 150-275



(ав H₂; III)

1974

КН

отгиси 2071

ВР 8474-X

8 Д921. Флуоресценция молекулы КН. Gruse Jennifer A., Zate Richard N. Fluorescence of the KN molecule. «J. Chem. Phys.», 1974, 60, № 3, 1182 (англ.)

Получен спектр флуоресценции КН при возбуждении линией 4880 Å аргонового лазера. Описаны основные особенности спектра. С помощью перестраиваемого лазера на красителях получен спектр возбуждения флуоресценции КН в областях 4400—4700 и 4800—4930 Å. Проведено отождествление спектра возбуждения в области 4810—4865 Å. Библ. 6.

Резюме

спектр

9.1974. N 8

KH

OCTOBER 20 71.

1974

126458a Fluorescence of the potassium hydride molecule.
Cruse, Jennifer A.; Zare, Richard N. (Dep. Chem., Columbia
Univ., New York, N.Y.). *J. Chem. Phys.* 1974, 60(3), 1182
(Eng). Fluorescence of KH was studied with a pulsed tunable
dye laser and with various lines of a continuous-wave Ar ion laser
for excitation. With the 4880 Å line of the Ar laser, fluorescence
was excited in the $A^1\Sigma^+ - X^1\Sigma^+$ system corresponding to the ($r'' =$
 $0, J'' = 5$) \rightarrow ($r' = 7, J' = 6$) transition. The (7,0), (7,1),
(7,2), and (7,4) *O* and *R* doublets were obsd. The 4965 Å laser
line produced weak fluorescence; other Ar lines did not excite
KH. The excitation spectrum in the regions 4400-700^a and
4800-930 Å are given. The lifetime of the KH $A^1\Sigma^+$ state is <10
nsec.

(M, n)

laser byz.

pyropeccy.

C.A. 1974. 80 v22

КН

отмиса 2071

1974

ЗР 8474-Х

18 Б157. Флуоресценция молекулы КН. Cruse
Jennifer A., Zage Richard N. Fluorescence of the
KN molecule. «J. Chem. Phys.», 1974, 60, № 3, 1182
(англ.)

Исследован спектр флуоресценции молекулы КН в области 4800—4870А, возбужденный перестраиваемым лазером на красителе и Ar^+ -лазером. Идентифицированы вращательные линии полос (8,0)—(13,0) системы $A^1\Sigma^+ - X^1\Sigma^+$ КН, расположенные в исследуемой области. По временной зависимости флуоресценции оценен верхний предел времени жизни (10 нсек) состояния $A^1\Sigma^+$.

М. Р. Алиев

Х. 1974. N 18

КН

Numrich Robert W. 1974

(эл. конфигурац) Diss. Abstr. Int

B 1975, 35(12 pt 1)

5837

(ам НА Н; III)

paper u.n., J (WAX, NARB, NaCs,
KRb, KCs, RbCs, NaH, KH, RbH,
CsH, CuH, AgH, AuH) X-9489

Gaspar R, Tamásy-Lentei I,
Acta phys. Acad. sci. hung, 1975, 38, VI,
3-13 (acc.).

Molecular pseudopotential calculations.
I Determination of the ionization potentials
and equilibrium internuclear dis-
tances for the diatomic heteronuclear alkali
Rulkov, 1976, 10139 metal alkali metal hydride and noble | 10 (p) 15

60108.8535

Ch, TС

KH 41197

(номер. зкл.)

1975

45-11165

Numrich Robert W., Truhlar Donald G.

Mixing of ionic and covalent configurations for NaH, KH, and MgH⁺. Potential energy curves and couplings between molecular states. "J.Phys.Chem.", 1975, 79, N25,

2745-2766

(англ.) 0535 пик

509 511

5

7 (см. Налф, III) ВИНИТИ

KH 0mmuca 5445 1975

Pant U.R.

(80) Indian J. Chem. 1977,
A15, 33-34.

Binding Energy...

50814.4527

TC, Ch, Ph

3160 ¹³ помеш
нафам.
КН Wede

1975

ХУ-9684

Patel M.M., Gohel V.B. Potential energy
functions for alkali-hydride molecules.

"Spectrochim. acta", 1975, A31, N 7,

855-859

(англ.)

0433 ПИК

396 398

0425

ВИНИТИ

KH
4/11/2 1975
Saehs E.S., Hinze J., Sabelli N.H.

M.n.
Menzel

J. Chem. Phys., 1975, 62, 3367
p.

3

KH

M.h.

KH

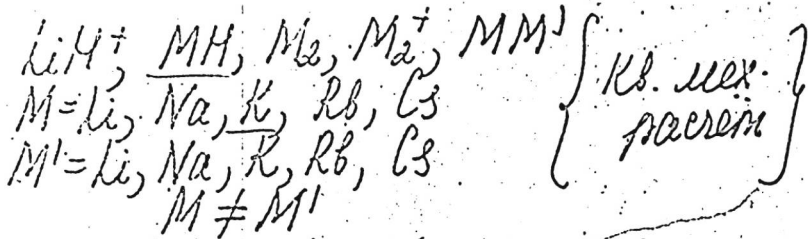
Thakur K.P. et.al. 1975

nomes
gp-1521-8

Indian J. Pure Appl
Phys 1975, 13(10) 717-18 (eng)
(see Li H; $\tilde{\pi}$)

BX-483

1976



Boeyens J. C. A., Lemoine R. H.,
J. S. Afr. Chem. Inst. 1976, 29(2-3), 120-31
A valence-bond study of dialkalis and
alkali hydrides.
C.A. 1977, 86, N20, 146280P

10

⊕

24

60407.7205
Ch, Ph, TC

40892
KH (kб. иск. фак)

1976

4200

Janev R.K.

On the long-range configuration
interaction between ionic and covalent
states.

"J.Chem.Phys.", 1976, 64, N 5, 1891-1894
(англ.)

0595 ПМК

571 574 597

ВИНИТИ

BGP-IX-5306

1976

PACCIUS M., DO, UDER. ACUP. (Liz, k₂, V₂, L₁,
V₄L, K₁L, R₁G₁L; Cak₁; Liva, lik, v₄k,
M₂li⁺, M₂k⁺, L₂w₂⁺; L₂V₂⁺, V₂L₁⁺, L₃, V₃⁺,
L₂H⁺, V₂H⁺)

Ray N.K.; Sivitalski J,

J. Theor. chim. acta, 1976, 41, 14, 329-333
^(part. 1)

Electrostatic potential calculations
FFSFDF studies with a model potential;
application to ionic ^(ed) molecular electron
Proc. QPLB, 1977, 9, 213-219
systems no (9)

60420.8550

Ch, Ph, TC

40604

KH (u.n.)

1976

4230

Sannigrahi A.B., Mohammad S. Noor.

On the applicability of the selected, valence electron split-shell model to ionic molecules. "Int.J.Quantum Chem.", 1976,
10, N 1, 181-184 (англ.).

У607 РМН

578 582

595

ВИНТИ

КН

*5-13175

4. n.

Чемер.
молекул

Х. 1976 / 8

18 Б34. Расчеты методом ПСГО геометрии и электронного строения гидридов элементов третьего периода, имеющих «аргоновый остов». Talaty Erach R., Fearey Alan J., Simons Gary. FSGO calculations of geometries and electronic structures of «argon-core» third-row hydrides. «Theor. chim. acta», 1976, 41, № 2, 133—139 (англ.)

1976

Б99-5290-IV

☒

46

В рамках неэмпирич. метода МО ЛКАО ССП с использованием базиса, плавающих сферич. гауссовых орбиталей (ПСГО) выполнены расчеты электронного строения низших синглетных состояний ряда одно-, двух-, и многоатомных гидридов элементов 3-го периода, имеющих «аргоновый остов» (KH, CaH₂, ScH, ScH₃, VH₃, CrH₂ и MnH). Проведена также оптимизация валентных углов и длин связей. Для всех молекул были оптимизированы экспоненты остевых (K -, L - и M -оболочек) и валентных орбиталей. Найдено, что те и другие экспоненты в исследованном ряду молекул монотонно увеличиваются с увеличением заряда ядра центрального атома. При этом экспоненты остевых орбиталей атомов мало зависят от их окружения (для молекул ScH и ScH₃ практически совпадают). Это означает, что в расчетах сложных молекул можно с достаточной точ-

ностью использовать приближение замороженного остава. Найденные в результате расчета плавающие сферич. гауссовы орбитали для всех молекул были затем преобразованы к обычным МО, и орбитальные энергии со-поставлены (для Ag и ScH_3) с данными неэмпирич. рас-четов МО ЛКАО ССП с достаточно большими базисны-ми наборами АО, центрированных на ядрах атомов. Последовательность оставных МО в обоих расчетах совпадает, но колич. соответствие (особенно для элек-tronов М-оболочки) неудовлетворительно. При этом воспроизводятся в расчете методом ПСГО энергии 3s-орбиталей значительно хуже, чем энергии 3p-орбиталей. Последовательность двух валентных орбиталей ScH_3 обратна полученной в неэмпирич. расчете МО ЛКАО. Рассчитанные полные энергии составляют ~85% хартри-фоковских значений. По данным расчета в ба-зисе ПСГО молекула ScH_3 должна быть неустойчивой по отношению к распаду на ScH и H_2 (молекула ScH_3 , в отличие от ScH , в газ. состоянии до настоящего вре-мени не обнаружена). Для всех рассмотренных моле-кул приведены и обсуждены равновесные углы и рас-стояния, для несимм. молекул и дипольные моменты. Для молекулы КН эксперим. и теор. значения межъ-ядерного расстояния различаются не более, чем на 1,5%. Как и предполагалось ранее, CaH_2 оказалась ли-нейной, ScH_3 — плоской, TiH_4 — тетраэдрич. Валентные углы в $\text{VH}_3(C_{3v})$ и $\text{CrH}_2(C_{2v})$ оказались неожиданно большими ($94,1^\circ$ и $103,1^\circ$, соотв.) по сравнению с ана-логичными гидридами непереходных элементов 3-го пе-риода RH_3 и H_2S . Отклонения дипольных моментов от хартри-фоковских значений составляют ~1 D.

Н. М. Клименко

#13-13175

1976

KH

18
NP-5290-A

84: 185161d FSGO calculations of geometries and electronic structures of "argon-core" third-row hydrides. Talaty, Erach R.; Fearey, Alan J.; Simons, Gary (Dep. Chem., Wichita State Univ., Wichita, Kans.). *Theor. Chim. Acta* 1976, 41(2), 133-9 (Eng). A series of ab initio calens. using the FSGO method and including geometry optimizations are reported for the lowest singlet states of KH, CaH₂, ScH, ScH₃, TiH₄, VH₃, CrH₂, and MnH. Both core and valence orbital exponents vary

Rb. alk.

pucker
cyclics

systematically. The description of the M-shell electrons is uneven, in that p orbitals are more accurately described than the 3s orbital. The bond angles of VH₃ and CrH₂ are predicted to be unexpectedly large (94.1° and 103.1°, resp.). Orbital energies, bond lengths and angles, dipole moments, and electron populations are reported for all systems.

(+)



18

C.A. 1976, 84 n26

(139-5290-IX)

1976

КН

10 д81. ПСГО-расчеты геометрии и электронной структуры гидридов элементов четвертого периода с остовом типа Аг. Talaty Erach R., Fearey Alan J., Simons Gary. FSGO caluclations of geometries and electronic structures of «argon-core» third-row hydrides. «Theor. chim. acta», 1976, 41, № 2, 133—139 (англ.)

Класс.
расчет
геометр.
дл. структ.

Выполнены неэмпирич. расчеты электронной структуры и равновесной геометрии молекул КН, CaH₂, ScH, ScH₃, TiH₄, VH₃, CrH₂ и MnH, имеющих внутреннюю электронную оболочку типа Аг. В расчете использован метод плавающих сферических гауссовых орбиталей (ПСГО). Для всех молекул приведены расчетные значения равновесных геометрич. параметров, дипольные моменты и проведен анализ заселенностей. Сравнение полученных в приближении ПСГО результатов с результатами более точных расчетов показывает, что использованный метод дает полуколичеств. оценки для молекулярных постоянных.

А. Дементьев

(+)

☒

ф. 1976 N10

70301.8413

Ch, Ph, NGU, TC

30526GR

KH

1976

X 9-1714

Watson D., K., Stewart R.F., Dalgarno

A. Variational time-dependent Hartree-Fock calculations a pseudopotential study of the alkali metal hydrides.

"Mol. Phys.", 1976, 32, N 6, 1661-1670

(англ.) (исл. Litt; III)

0821 БИК

784 785 816

ВИНИТИ

BX-1060

1974

H₂, Li₂, Na₂, K₂, LiNa, LiH, NaH,
KH, H₃, Li₃, Na₃, HLi₂ (eb. u.e., far)

Hieller E.,

Wiss. Z. - Friedrich-Schiller-Univ.
Jena, Math.-Naturwiss. Reihe
1974, 26 (4-5), 677-88

Quantum chem. model studies.
C.A. 1978, 88, N16, 110823 V 10 @

KH
Panu Uma Rani. 1977

"Indian J. Chem., Sect. A",
1977, 15A(1), 33-4.

20



(ccs. liH) III

LiH, NaH, KH, γ (Do, et al.) 1977
RBH, CSH BX-962

Uma Rani Pant,
Indian J. Chem., 1977, A15, n.1,
33-34 (accce.)

Binding energy of hydrides of
Li, Na, K, Rb and Cs.

Yogesh

Prakash, 1978, 1516 To ⑨

РН

сммнен 6077

1948

Numrich Robert W. et al

номен.
кривые
воздуха.
состава.

J. Phys. Chem. 1948, 22,
No, 168-176 (ансл.)

Распределение кривых кривых $A^1\Sigma^+$ в воздухе.

Наим. РН.



ев. № 4-III

BX-1412

1978

LiH, NaH, KH, RbH, CsH, RgH^+ , CaH^+ ,
NaLi, KLi, RbNa, RbLi, CsLi, RbNa, CsNa,
 M_2 ($M = \text{Li}, \text{Na}, \text{K}, \text{Rb}, \text{Cs}$) (Re, Ke),
 H_2Li^+ , H_2Na^+ , Li_2Na^+ , Na_2Li^+ , Li_3^+ , Na_3^+ ,
 Li_2H^+ , Na_2H^+ (complicated)

Ray N.K., Mehandree S.P.

Premara, 1978, 10(2), 201-6.

OM. 6611

Use of atomic Fues
in the storing
P.A. 1978, 89, N8, 65650ii

potential within
spherical gaussian

10



NaH⁺ *KH⁺* *RbH⁺* *CsH⁺*

22 Б9. Расчеты NaH^+ , KH^+ , RbH^+ и CsH^+ методом псевдопотенциала. *V. A. Pseudopotential calculations for NaH^+ , KH^+ , RbH^+ and CsH^+ .* «Chem. Phys. Lett.», 1978, 56, № 2, 289—294 (англ.)

В области значений межъядерного расстояния от 5 до 25 ат. ед. рассчитаны потенциальные кривые Σ -состояний молек. ионов NaH^+ , KH^+ , RbH^+ и CsH^+ , соответствующие первым четырем диссоциац. пределам. Вычисления проведены для одноэлектронной модели ионов $M\text{H}^+$ с введением псевдопотенциала типа Гельмана для описания взаимодействия электронного остова M^+ с валентным электроном. Волновые функции молек. ионов построены в приближении ЛКАО. Показано, что основные состояния всех исследованных систем являются слабо связанными. Найденные значения энергии диссоциации и равновесного межъядерного расстояния для ионов NaH^+ и CsH^+ согласуются с известными оценками. Результаты, полученные для системы CsH^+ , хорошо объясняют эксперим. данные по упругому рассеянию протонов на атомах цезия в области радужного угла. Сделано заключение о пригодности использованной простой в вычислительном отношении модели для расчетов х-к упругого и неупругого рассеяния в данных системах.

А. В. Немухин

расчеты
рассеяния
12 физ.
дл. 17. Do.

+3

☒

2.1978, № 2

коммиссион 6465

KH.

Lomnicka 8789 | 1979.

Sogawale S. R. et al.

(δ_0 , конденс.)

(Крикет) Chem.-Phys. Lett., 1979,

64 (2,3), 544-46.

K.H.

Commerce 8069 | 1979

K.H.

Melius C.F.; et al.

расчет
структур
номенк-
латуры

J. Phys. Chem., 1979,
83 (9), 7221-27

KH

1974

Несуячий А.В. угр.

фасон
компакт.
изгубки

"Реког. по морю
Белого и Моря.
Будето, 1979. №
зок. "У. 2"
Будето, 1979, 44.

(см. Наг + йи)

KH⁺

1980

Nemukhina A.V., et al

Vestn. Mosk. Univ., Ser. 2:
Khim., 1980, 21(1), 18-21.

Ref. ex.
paerem

(See Litt.; III)

KHT

1979

Музей А.В. КГП.

Красно-
номыс.
Красной

"Красн. по морю"
Амурск и Мончег.

Буденовск, 1979, May
гор. 2²"

Буденовск, 1979, July

(см. Наг + i^{III})

KH

ORANGUAN 8901

1979

KD

Obweda K.

Coll. Koch.

Spectrochim. acta,
1970, 25, 7353-57.

документ 10866

19.90

КН

КД

(М.Н.)

□

М.Н.

6 Д640. Спектроскопия основного состояния $X^1\Sigma^+$ молекул NaH , NaD , KH и KD с использованием возбуждаемой лазером флуоресценции в высокочастотном разряде. Spectroscopy of the NaH , NaD , KH , and KD $X^1\Sigma^+$ ground state by laser excited fluorescence in a high frequency discharge. Giroud Magc, Nede-
лес О. «J. Chem. Phys.», 1980, 73, № 9, 4151—4155
(англ.)

С использованием перестраиваемого лазера на красителе получены спектры флуоресценции молекул NaH (I), NaD (II), KH (III) и KD (IV). Молекулы I—IV получали в СВЧ-разряде. В спектрах зарегистрированы переходы на уровни до $v''=15, 20, 14$ и 16 для I—IV соответственно. Определены спектроскопич. постоянные и потенциал РКР для основного состояния $X^1\Sigma^+$. Полученные для I и II результаты сопоставлены с данными неэмпирич. расчетов. Библ. 19. В. А. Е.

д. 1981. № 6

1980

KH

Jiang Feng-Lin, et al.

моделии.

смарты.

оценка

раствор

Ts'ui Hua Hsueh Pao,
1980, 1 (1), 65-72

KH+

X - 104445

1980

M.N

Heseyneet S.B.
Circeusoid H.P.

Beeth. MZL, received,
1980, 21, VI, 18-21

Kift

[Lomnicka 9187]

1980

Olson R.E., et al.

E_i / R_e^-
 Δe
nomens,
Meyer

J. Phys. B: Atom. and
Mol. Phys., 1980, 13,
297 - 308.

Potential energies and...

154

расчет
рассчитан
затем

(+14)



Ф. 1981 г.

1 Д96. Исследование свойств неорганических и металлоганических соединений методом молекулярных орбиталей. 1. Базисные наборы ОСТ-НГФ для элементов главных подгрупп четвертого периода. Molecular orbital theory of the properties of inorganic and organometallic compounds. 1. STO-NG basis sets for third-row main-group elements. Pietro William J., Levi Beverly A., Hehre Warren J., Stewart Robert F. «Inorg. Chem.», 1980, 19, № 8, 2225—2229 (англ.)

Для K, Ca, Ga, Ge, As, Se, Br, Kr рассчитаны экспоненты и коэф. базиса ОСТ-ЗГФ для расчетов неэмпирич. методом ССП МО ЛКАО. С полученным базисом рассчитана равновесная геометрия KH, GeH₄, AsH₃, SeH₂, HBr, KCN, KOH, CaF₂, H₂GeCH₃, H₃GeCl, H₂GeF, H₂GeCN, H₃GeGeH₃, H₃GeBr, AsF₃, H₃CSeH, OCSe, LiBr, CH₃Br, BrF, H₃SiBr и Br₂. Обнаружено, что валентные углы передаются хорошо, а для длин связей согласие может считаться приемлемым, причем для связей между двумя атомами 4-го периода согласие удовлетворительное. Сравнение с данными расчетов в базисе ОСТ-2ГФ показало, что последний приводит к заметно худшим результатам. В. Л. Лебедев

1980

104/37

Химик

отмечено 10739

1980

КН

7 Д98. Кривые РКР-потенциалов для состояний $X^1\Sigma^+$ и $A^1\Sigma^+$ молекулы КН. The RKR potential energy curves for the $X^1\Sigma^+$ and $A^1\Sigma^+$ states of KN

Yang S. C., Hsieh Y. K., Verma K. K., Swallow W. C. «J. Mol. Spectrosc.», 1980, 83, № 2, 304—310
(англ.)

На основе известных спектроскопич. постоянных для состояний $X^1\Sigma^+$ и $A^1\Sigma^+$ молекул КН и KD найдены их комбинированные значения, учитывающие разную приведенную массу этих молекул. Кратко обсуждается методика получения взвешенных по изотопному составу постоянных, а также типичные погрешности аппроксимации эксперим. величин B_v и $G(v)$ с помощью даниловских разложений. На основе найденных спектроскопич. постоянных определены точки поворота для потенциалов Ридберга — Клейна — Риса молекулы КН в состояниях $X^1\Sigma^+$ и $A^1\Sigma^+$. Построены искомые потенц. кривые для значений $v'' \leq 4$ ($X^1\Sigma^+$) и $v' \leq 26$ ($A^1\Sigma^+$)

А. А. Радциг

9.1981.67

отмечен 10739 1980

К.Н

КД

10 Б118. Кривые потенциальной энергии, рассчитанные методом Ридберга — Клейна — Риса для состояний $X^1\Sigma^+$ и $A^1\Sigma^+$ K.H. Yang S.-C., Hsieh Y. The RKR potential energy curves for the $X^1\Sigma^+$ and $A^1\Sigma^+$ states of KN. «J. Mol. Spectrosc.», 1980, 83, № 2, 304—310 (англ.)

Обсуждены методы получения улучшенных спектроскопич. постоянных, являющихся изотопически усредненными постоянными. С использованием изотопически скомбинированных спектроскопич. постоянных молекул KN/KD в рамках метода Ридберга — Клейна — Риса (PKR) вычислены точки возврата для колебательных квантовых чисел $v''=0-4$ (состояние $X^1\Sigma^+$) и $v''=0-26$ (состояние $A^1\Sigma^+$) и построены соотв-щие потенциальные кривые. Значения спектроскопич. постоянных Y_{00} , $G(0)$ и ЭНК, где Y_{00} — поправка Данхэма, ЭНК-энергия нулевых колебаний и $\text{ЭНК} = G(0) + Y_{00}$,

М.Н.
Кривые
показаны.
Энергии

Х. 1981. N10

составили 0,22; 488,9 и 489,12 см⁻¹ соотв. для состояния $A^1\Sigma^+$ и 2,05; 113,12 и 115,17 см⁻¹ соотв. для состояния $A^1\Sigma^+$ молекулы КН. Соответствующие постоянные в молекуле KD составили 0,11; 350,92; 351,03 см⁻¹ для состояния $X^1\Sigma^+$ и 1,05; 80,67; 81,72 см⁻¹ для состояния $A^1\Sigma^+$. С использованием полученных спектроскопич. постоянных вычислены значения энергий переходов $X^1\Sigma^+ \rightarrow A^1\Sigma^+$, составившие $v_{00}(\text{КН}) = 18683$ см⁻¹, $v_{00}(\text{KD}) = 18788$ см⁻¹ и $v_e = 19057$ см⁻¹. И. А. Тополь

KH

Omnibus 10739

1980

KD

nomesus
g-p-gus

✓ 93: 212672r: The RKR potential energy curves for the $X^1\Sigma^+$ and $A^1\Sigma^+$ states of potassium hydride. Yang, S. C.; Hsieh, Y. K.; Verma, K. K.; Stwalley, W. C. (Dep. Chem., Natl. Taiwan Univ., Taipei, Taiwan). *J. Mol. Spectrosc.* 1980, 83(2), 304-14 (Eng). New isotopically combined spectroscopic consts. were obtained for the $X^1\Sigma^+$ and $A^1\Sigma^+$ states of KH/KD. These consts. were used to construct new isotopically combined Rydberg-Klein-Rees (RKR) potential energy curves up to $v = 4$ of the $X^1\Sigma^+$ state and up to $v = 26$ of the $A^1\Sigma^+$ state.

C.A. 1980, 93 n22

ICH

1981

8 Д221. Неэмпирическое исследование электронно-неупругого столкновения K+H с использованием метода прямого интегрирования для решения уравнений приближения связанных состояний в электронно-адиабатическом представлении. Ab initio treatment of electronically inelastic K+H collisions using a direct integration method for the solution of the coupled-channel scattering equations in electronically adiabatic representations. Garrett Bruce C., Redmon Michael J., Truhlar Donald G., Melius Carl F. «J. Chem. Phys.», 1981, 74, № 1, 412—424 (англ.)

В одноэлектронном неэмпирич. приближении псевдопотенциала рассчитаны адиабатич. потенц. кривые и матричные элементы неадиабатич. связи в области их квазипересечения для электронных состояний X, A и $C^1\Sigma^+$ квазимолекулы KН. Найденные расщепления кривых X и A в области квазипересечения хорошо согласуются с экспериментальными. Полученные результаты были использованы для расчета сечений неадиабатич. переходов при малых энергиях в системе K+H. Соот-

KB. 2008.
расчет
исследований
KН

ф. 1981 N 8

ветствующая система ур-ний приближения связанных состояний решалась методом определения эволюции R -матрицы в адиабатич. базисе. Эта эволюция определялась с использованием разбиения радиальной координаты на секторы, определения решения в приближении Магнуса в каждом секторе и последующей сшивки решений в секторах на их границах. Метод расчета подробно описан, исследованы его свойства и эффективность. Найдено, что он удобен для конкретных расчётов и обеспечивает быструю сходимость результатов. Расчет этим методом сечений для системы КН показал, что величина их зависит от способа моделирования остова KH^+ , но слабо изменяется при варьировании высших производных неадиабатич. взаимодействия. Показано, что при энергии столкновения 0,022 эв сечение

тушения $4^2P \rightarrow 4^2S$ составляет $(2-4) \cdot 10^{-4} a_0^2$, а при энергии 1,1 эв увеличивается до $(8-10) \cdot 10^{-4} a_0^2$.

А. И. Ш.

KH

1981

94: 71849k Ab initio treatment of electronically inelastic atomic potassium + atomic hydrogen collisions using a direct integration method for the solution of the coupled-channel scattering equations in electronically adiabatic representations. Garrett, Bruce C.; Redmon, Michael J.

Kh. deck.
faerem

C.H. HPA dependence

O.A. 1981 84/110

Truhlar, Donald G.; Melius, Carl F. (Chem. Phys. Sect., Battelle Columbus Lab., Columbus, OH 43201 USA). *J. Chem. Phys.* 1981, 74(1), 412-24 (Eng). The adiabatic potential-energy curves and nonadiabatic first-deriv. couplings for the X , A , and $C^1\Sigma^+$ states of KH were calcd. with an ab-initio one-electron pseudopotential formalism. The splitting of the X and A curves at the avoided crossings is in good agreement with expt. The ab-initio results were used to calc. the electronically inelastic transition probabilities and cross sections for $K + H$ collisions at low energies by R -matrix propagation in the adiabatic representation with exponential sector transformations. Since this method has never been applied before, a study was made of its convergence properties and efficiency. The cross sections are changed by about a factor of 2 when the potential curves are changed by a different treatment of the KH^+ core, but only by about 1% when the assumptions about the nonadiabatic second-deriv. coupling terms are altered. The calcd. $4^2P \rightarrow 4^2S$ quenching cross section at 0.022 eV relative translational energy is $(2-4) \times 10^{-4} a_0^2$. This increases to $(8-10) \times 10^{-4} a_0^2$ at 1.1 eV. The emphasis in this article is on testing and evaluating the new method for solving the scattering problem rather than on the cross sections themselves.

KH

Lommel 11148

1981.

Ghodgaonkar A. H.
et al.

Красн.
ночн.

и некоторые
Морзе-Крамерса
(8.)

J. Chem. Soc. Faraday
TRANS. II, 1981, 77
209-211.

KH

Commun 12200 | 1981.

KD

Hasan M. M., et al.

Min.

Indian J. Pure and
Appl. Phys., 1981,
19, 584-86.

KH

[Lommel 12839] 1981.

Stevens W. J.; et al.

kb. uccx.

packet;

Aē,

nomesus

Kpuklie

Do

J. Chem. Phys., 1981,
74(7), 3989-98

(Ccr. Li·H; III)

KH^-

Loc. 12839

1981

Stevens W. J., et al.

J. Chem. Phys., 1981, 74,
N.Y., 3989-3998.

He, u.n.

• (c.c. Li H; II)

KH^+

Cost - 12839)

1981

Stevens W.Y., et al.

U.N. Fe;
ces. noes.
Do.

J. Chem. Phys., 1981, 74,
N.Y., 3989-3998.

(ces. LiH^+ ; II)

KM

1981

Tamássy - Lantel J.,
et al.

re, Do. Acta Univ. Debrecen.

Ser. phys. et chem.,
1980 (1981), 23, N1, 137-
147).

(cet. NaM; II)

KH(2)

(Ommereck 15847) 1982

Do;

Farber M., Srivastava R.D.,
et al.,

J. Chem. Thermodyn,
1982, 14, N12, 1103-1113.

KH⁺ Omnick 14338 1982

Fuertealba P., Preuss H.,
et al.

meopeus,
pacrius.

Chem. Phys. Lett., 1982,
89, NS, 418-422.

КН

Om.

15594
15457

1982

6 Б1559. Времена жизни и столкновения в КН, $A^1\Sigma^+$, $v'=5-22$. Giroud Marc, Nedelec Odette. Lifetimes and collisions in KN, $A^1\Sigma^+$, $v'=5-22$. «J. Chem. Phys.», 1982, 77, № 8, 3998—4005 (англ.)

Методом оптической спектроскопии флуоресценции молекулы КН $A^1\Sigma^+$, возбуждаемой импульсным лазерным излучением, изучены ее времена жизни в различных колебательных состояниях. Молекулы КН получали из К и H_2 в ВЧ-плазме (частота 2240 МГц, мощность 100—200 Вт, давл. H_2 от $5 \cdot 10^{-2}$ до 1 мм рт. ст.). Определены излучательные времена жизни τ КН ($A^1\Sigma^+$, $J=8,9$) равные 64 ($v'=5$) 60(7), 58(10), 56(13), 54(17), 53(19), 34(22) нс. Считается, что резкое уменьшение τ при $v'=22$ обусловлено возмущением $A_1\Sigma^+$ -уровня диссоциативным уровнем $a^3\Sigma$. Определены сечения тушения КН $A^1\Sigma^+$ ($J=8,9$) молекулами H_2 при 600 K, равные $(57 \pm 6) A^2$ ($v'=5$), $(34 \pm 4) A^2(10)$, $(45 \pm 5) A^2$ (19). Сечения переноса вращательной энергии КН при столкно-

τ и столкновение

X. 1983, 19, № 6

вении с H_2 равны $41 \pm 10) \text{ A}^2$ ($v'=5$), $(68 \pm 12) \text{ A}^2$ (10) и $(92 \pm 15) \text{ A}^2$ (19). Парциальные сечения переноса вращательной энергии для ($A^1\Sigma^+$, $v'=10$, $J'=8$) с участием H_2 при 600 К равны (A^2): 2,5 (переход $j'=8 \rightarrow j=4$; 5,5 ($8 \rightarrow 5$); 8,0 ($8 \rightarrow 6$); 17,5 ($8 \rightarrow 7$); 17,9 ($8 \rightarrow 9$); 8,1 ($8 \rightarrow 10$); 5,4 ($8 \rightarrow 11$); 2,5 ($8 \rightarrow 12$)). Отмечается, что столкновение КН с электронами в разряде приводит к вращательным переходам с $\Delta J' = \pm 1$ и колебательным переходам с $\Delta v' = \pm 1, \pm 2$. Такие переходы характерны для полярных молекул. Ю. И. Дорофеев



КН

Он. 15594
Он. 15454

1982

З Д238. Времена жизни и столкновения в КН, $A^1\Sigma^+$, $v'=5-22$. Lifetimes and collisions in KN, $A^1\Sigma^+$, $v'=5-22$. Girod Magc, Nedelec Odette. «J. Chem. Phys.», 1982, 77, № 8, 3998—4005 (англ.)

Экспериментально по измерению флуоресценции изучена релаксация заселенностей колебательно-вращательных уровней ($v'=5-22$; $J=8; 9$) электронно-возбужденного состояния $A^1\Sigma^+$ молекул КН. Эти молекулы получались в разряде в смеси K+H₂ и возбуждались в состояние $A^1\Sigma^+$ излучением импульсного лазера на красителе. Измерены радиационные времена жизни, которые монотонно уменьшаются от $6,4 \cdot 10^{-8}$ до $3,4 \cdot 10^{-8}$ с с ростом номера колебательного уровня от $v'=5$ до 22. Сечения вращательных переходов в столкновениях с H₂ монотонно возрастают от значения $4,1 \cdot 10^{-15}$ см² для $v'=5$ до $9,2 \cdot 10^{-15}$ см² для $v'=19$.

Б. Ф. Гордиец

90.1983, 18, № 3

KH

(2)

OAMUCC 15594
OAMUCC 15457 1982

97: 190722k Lifetimes and collisions in potassium hydride, A $^1\Sigma^+$, v' = 5-22. Giroud, Marc; Nedelec, Odette (Lab. Spectrometrie Phys., Univ. Sci. Med. Grenoble, 38041 Grenoble, Fr.). *J. Chem. Phys.* 1982, 77(8), 3998-4005 (Eng). KH obtained in a high frequency discharge in K + H₂ was selectively excited by a pulsed dye laser to A $^1\Sigma^+$, v' = 5-22, J' = 8 or 9. The radiative lifetimes were measured. They decrease slowly from v' = 5 (61 ns) to v' = 19 (53 ns) and rapidly at v' = 22 (31 ns). Rotational transfer cross sections by collisions with H₂ increase from v' = 5 (41 Å²) to v' = 19 (92 Å²) as do the elec. dipole moments in the levels. The collision with the electrons of the discharge provide rotational transfers where the $\Delta J' = \pm 1$ transitions are the greatest and vibrational transfers $\Delta v' = \pm 1, \pm 2$, where the $\Delta J' = 0$ transitions are small. These results are to be expected in polar mols. where the interaction of the electron with the permanent dipole moment of the mol. is predominant.

C.A.1982, 97, 122

KH

1982

Jeung Gwanghi.

pærcieer Ei; Thèse doct. ètat-sci.
chim. quant. Vriv.
e. n. Paul Sabatier Toulouse,
1982. Var. pag., ill.

(cur. TiHy; III)

KH^+

1982

Энергия
свободного
существа

Mezey Paul G.

Int. J. Quantum

Chem., 1982, 22, N1,

101-114.

(см. $PbCl_2$ J; I)

KH Dissertations
Branche der
Stvalley W.C.

Rauferre
Rauferre.
Rauferre
Rauferre
X Σ^+ u
A Σ^+
CIMORH.

Yang J.C., Hsieh Y.L.,
Verma D.L., Stivalley W.C.,
Y. M.H. Spectrosc. in
press.

KH

1982

Yang Sze-Cheng, St. Walley
William C.

Metal Bond. and Interact.

High Temp. Syst. Emphasis

Alkali Metals. Symp. 181st

Meeting Amer. Chem. Soc., At-
lanta, GA, March 31-Apr. 3,
1981. Washington, D.C., 1982,
241-254.



(cav. LiH; III)

KH^+

1983

Fuentetalla P., Von Szen.
tpaly Z., et al.

M.n. THEOCHEM 1983, 10,
213 - 219.

•(cav. LiH; 111)

KH

1983

Jeung G.H., Daudley
J.P., et al.

medieval
pacifiers.

J. Phys. B 1983, 16
(5), 699 - 714.

(cu. K_2 ; II)

KH

[Oct. 19005] 1983

Kaur A.J., Jair P.C.,
et al.

Heptane
cbsu,
neopentyl
paciens

Indian J. Chem.,
1983, A22, N7, 595-
● - 598.

КН

1983

9 Д693. Индуцированная лазером флуоресценция и неупругие столкновения молекулы КН.. Laser-induced fluorescence and inelastic collisions of KN molecule. Parda A., Pojato J. M. L., Guijago M. S., Fernandez-Alonso J. I. «J. Mol. Spectrosc.», 1983, 97, № 2, 248—252 (англ.)

В области 16 000—21 000 см⁻¹ получен спектр флуоресценции паров КН, возбуждаемый Ag⁺-лазером ($\lambda = 488,1$ нм). Структура спектра отнесена к переходам в системе $A^1\Sigma^+ - X^1\Sigma^+$. Анализ колебательно-вращательной структуры позволил рассчитать величины молекулярных констант для КН ($X^1\Sigma$) (в см⁻¹): $\omega_e = 986,482$, $\omega_{ex}x_e = 15,4844$, $\omega_{ey}y_e = 0,1206$, $B_e = 3,4122$, $a_e = 0,08247$ и $D_e = 15\ 630$.

М. Тимошенко

оп. 1983, 18, 19

KH

1983

/101: 235860y Potential energy curve of the $A^1\Sigma^+$ excited state of potassium hydride. Pardo, A.; Poyato, J. M. L.; Guijarro, M. S. (Fac. Cienc., Univ. Auton. Madrid, Madrid, Spain). *An. Fis., Ser. A* 1983, 79(2), 121-9 (Span). Since the potential energy curve of the $A^1\Sigma^+$ state of KH has not previously been correctly calcd., a new method is presented with numerical integration for a correct detn.

J. Troland

nomers.
Krubel,
 $A^1\Sigma^+$

C. A. 1984, 101, N 26.

KH

[Oct. 18810]

1983

Sharker J., Agrawal H.B.,

Феоктистов.

et al.

наркозы., Indian J. Phys., 1983,
москве.

СВ-Ба

A 57, N3, 155-163.

KH

1983

Yang S.C., Nelson D.D.
et al. Jr.,

D°;

J. Chem. Phys. 1983,
78 (7), 4541-3.

(C₆₀, NaH; Li^+)

KH

1983

laser. loss
crekmp
physica.

7 98: 116346v Laser-induced fluorescence and inelastic collisions of potassium hydride molecule. Pardo, A.; Poyato, J. M. L.; Guijarro, M. S.; Fernandez-Alonso, J. I. (Fac. Cienc., Univ. Auton. Madrid, Madrid, Spain). *J. Mol. Spectrosc.* 1983, 97(2), 248-52 (Eng). The laser-induced fluorescence spectrum of KH vapor, excited by the 4881-Å A ion laser line, was obtained and analyzed. The transition involved the $A^1\Sigma^+$ and $X^1\Sigma^+$ states. Vibrational and rotational energy transfer was detected. The spectrum presents a clear differentiation of bandheads. The mol. consts. obtained are in good agreement with the previously reported data.

C.A. 1983, 98, N 14

КН

Om - 20790 /

1984

11 Б1252. Инфракрасный спектр КН. The infrared spectrum of KN. Haese Nathan N., Liu Di-Jia, Altman Robert S. «J. Chem. Phys.», 1984, 81, № 9, 3766—3773 (англ.)

С помощью полупроводникового лазерного спектрометра впервые измерена вращательная структура фундаментальной и горячей (2—1) полос колебательно-вращательных спектров молекул ^{39}KH и ^{41}KH . Молекулы KH получались в условиях разряда переменного тока в атмосфере паров калия и водорода. Значения коэф. Данхема для ^{39}KH (в см^{-1}): $Y_{10}=985,6714$, $Y_{20}=-14,9013$, $Y_{01}=3,41640$, $Y_{11}=-0,085313$, $Y_{21}=5,41 \cdot 10^{-4}$, $Y_{02}=-1,6354 \cdot 10^{-4}$, $Y_{12}=1,13 \cdot 10^{-6}$, $Y_{03}=7,6 \cdot 10^{-9}$. Обсуждены уширение линий KH давлением H_2 и механизм образования молекул KH в плазме разряда. Полученные значения ω_e , ω_{ex_e} , B_e , α_e , D_e , R_e сопоставлены с данными др. авторов.

В. М. Ковба

М.П.

X. 1985, 19, N 11

КН

Лонд 20790 / 1984

б.л.188. ИК-спектр КН. The infrared spectrum of KN.
Haese Nathan N., Liu Di-Jia, Altman Robert S. «J. Chem. Phys.», 1984, 81, № 9, 3766—3773
(англ.)

Изучены ИК-спектры ($1050—830\text{ см}^{-1}$) соединения КН (I) в газовой фазе с разрешением $0,005\text{ см}^{-1}$. Идентифицированы полосы фундаментальных колебаний и «горячих» переходов в системе уровней изотопически замещенных ($^{39,41}\text{K}$) I. Рассчитаны коэф. Данхэма для ^{39}KN . Определены равновесная длина связи и частота гармонич. колебания I, равные $2,241152(16)\text{ \AA}$ и $7,6(8)\cdot 10^{-9}\text{ см}^{-1}$ соответственно. Установлено уширение ИК-полос I с ростом давления H_2 в исходной газовой смеси. Библ. 86.

И. В. А.

Ф. 1985, 18, № 6.

KH

[Om. 20790]

1984

102: 143+4s The infrared spectrum of potassium hydride.
Haese, Nathan N.; Liu, Di Jia; Altman, Robert S. (Dep. Chem., Univ. Chicago, Chicago, IL 60637 USA). *J. Chem. Phys.* 1984, 81(9), 3766-73 (Eng). The 1st observation is reported of the IR spectrum of KH. Fundamental bands and 1st hot-bands of the ^{39}KH and ^{41}KH isotopic forms were measured at high resoln. by using a diode laser based spectrometer. An a.c. glow discharge through K vapor and H gas was used to produce KH. A combined isotopic Dunham coeff. anal. was used to fit all the spectra, with the Dunham coeffs. for ^{39}KH coming out as $Y_{10} = 985.6714(30) \text{ cm}^{-1}$, $Y_{20} = -14.9013(10) \text{ cm}^{-1}$, $Y_{01} = 3.41640(10) \text{ cm}^{-1}$, $Y_{11} = -0.085\ 313(26) \text{ cm}^{-1}$, $Y_{21} = 5.41(60) \times 10^{-4} \text{ cm}^{-1}$, $Y_{02} = -1.6354(36) \times 10^{-4} \text{ cm}^{-1}$, $Y_{12} = 1.13(10) \times 10^{-6} \text{ cm}^{-1}$, $Y_{03} = 7.6(8) \times 10^{-9} \text{ cm}^{-1}$, (quoted at 2σ error limits). A bond length of $2.241\ 152(16) \text{ \AA}$ and a Dunham cor. value for ω_r of $986.0505(30) \text{ cm}^{-1}$ were obtained. The pressure broadening of KH by H_2 and the chem. of KH formation in the glow discharge plasma are also discussed.

UK creaking,
10cm. Daresbury

C. A. 1985, 102, N2.

KH(2)

[ONI · 222B1,"a"]

1985

Squires R. R.,

J. Amer. Chem. Soc., 1985,
107, N 15, 4385-4390.

No

KH

(OM. 24933)

1986

Bessery B., Aubert-Frécon M.,
et al.,

метод.
параметр.

основн.

у
бозонно-

состоин.

Chem. Phys., 1986, 109,
N1, 39-46.

KH

1986

Giroud M., Nedelec O.

Ann. phys. (Fr.), 1986,

11, N3, colloq., 175-176.

(ccr. Natl; III)

KH

0123315, 37926 1986

13 Б4425. Основное состояние $X^1\Sigma^+$ молекулы KH вблизи предела диссоциации. The $X^1\Sigma^+$ ground state of KH near the dissociation limit. Hussein K., Effrati C., D'Incan J., Verges J., Barrow R. F. «Chem. Phys. Lett.», 1986, 124, № 2, 105—109 (англ.)

При высоком разрешении зарегистрирован спектр Фл паров KH, к-рые получали при т-ре 490° С в печи, содержащей К и буферный газ Ar при полном давл. 7 мбар. Добавки H₂ специально не вводили, водород получался из примесей. Спектр Фл возбуждали в переходе $A^1\Sigma^+ - X^1\Sigma^+$ светом 4880 Å лазера на ионах Ar⁺, к-рый заселяет уровни $v'=7$, $J'=6$ состояния ³⁹KH-($A^1\Sigma^+$). Спектр Фл состоит, в основном, из дублетов $R(5)$, $P(7)$, однако наблюдаются также врачащ. сателлиты с $\Delta J' = \pm 1$, ± 2 , ± 3 и т. д. Последний связанный колебательно-вращащ. уровень в основном состоянии KH($X^1\Sigma^+$) идентифицирован как $J=6$, $v=23$. В предположении, что порог диссоциации KH лежит посередине между уровнями $J=6$ и $J=7$, найдена энергия диссоциации $D_e(KH) = 14776 \pm 4$ см⁻¹.

M.P. (D₀)

окт. 1986, 19, № 13

КН

от 23.3.15, 37926 1986

8 Л436. Основное состояние $X^1\Sigma^+$ молекулы КН около диссоциационного предела. The $X^1\Sigma^+$ ground state of KН near the dissociation limit. Hussein K., Effantin C., D'incan J., Vergès J., Vagrov R. F. «Chem. Phys. Lett.», 1986, 124, № 2, 105—109 (англ.)

В спектре флуоресценции ${}^{39}\text{K}\text{H}$ ($A^1\Sigma^+ - X^1\Sigma^+$), возбуждаемой линией 4880 Å Ar⁺-лазера, проявляются связанные уровни основного состояния молекулы, расположенные непосредственно около диссоциационного предела. Последний связанный колебательно-вращательный уровень идентифицирован как $J=6$, $v=23$. Для энергии диссоциации основного состояния молекулы КН получено значение $D_e = 14776 \pm 4 \text{ см}^{-1}$. Библ. 26. В. С. Иванов

(де)

ф. 1986, 18, № 8

KK

1986
Om. 23315, 37926

104: 158584u The $X^1\Sigma^+$ ground state of potassium hydride near the dissociation limit. Hussein, K.; Effantin, C.; D'Incan, J.; Verges, J.; Barrow, R. F. (Univ. Claude Bernard, 69622 Villeurbanne, Fr.). *Chem. Phys. Lett.* 1986, 124(2), 105-9 (Eng). Fluorescence excited in the $A^1\Sigma^+ - X^1\Sigma^+$ system of ^{39}KH by the 4880 Å Ar-ion laser line gave information about the ground state as far as the last bound vibrational level. This was identified as $J = 6$ in $v = 23$, and, assuming a limit midway between $J = 6$ and $J = 7$, $D_e(\text{KH}) = 14,776 \pm 4 \text{ cm}^{-1}$.

$(A^1\Sigma^+ - X^1\Sigma^+)$

de

C.A. 1986, 104, N 18.

КН

[om. 26170]

1986

Женč F., Brandt B.A.,

ПОТЕНЦ.
КРСВ.,
Re;

J. Chem. Phys., 1986,
85, N 6, 3702-3703.

KH

1986

Zenghoff Stephen R.,
Bauschlicher Ch. W., Jr.,
romerecz.
et al.

Krucke,
 $\chi'\Sigma^+$ coem., meop.
paerim. J. Chem. Phys. 1986,
85 (9), 5758 - 66.
(cav. NaH; $\ddot{\text{O}}$)

KH

[OM. 28365]

1987

роменс.

круп.

островн.

состоитн.,

де,

коледам.

зарегистр.,

сертиф. 34

Fuentealba P., Reyes O.,

J. Chem. Phys., 1987,
87, N9, 5338-5345.

KY

1987

Jenc F., Brandt B.A.

u.n.

Theor. chim. acta,
1987, 72, N 5-6, 411-432.

(c.u. HF; II)

КН

1987

№ 6 Б1062. Теоретическое исследование структуры и стабильности гидридов типа MH_k и MH_{k+1}^- ($M=K$, Ca , Sc , Ti , V , Cu и Zn). Мусаев Д. Г. «Химия гидридов. 4 Всес. совещ., Душанбе, 17—18 нояб., 1987. Тез. докл.» Б. м. б. г., 54

Неэмпирическим методом ССП изучены структура и стабильность гидридов KH , CuH , CaH_2 , ZnH_2 , ScH_3 , TiH_4 , VH_5 и ионов KH_2^- , CuH_2^- , CaH_3^- , ZnH_3^- , ScH_4^- , TiH_5^- и VH_6^- . Из резюме

М.П.

(13) 27

X. 1988, 19, N6

KH

OM-27935

1987

KD

($A^1\Sigma^+$ - $X^1\Sigma^+$)

107: 207614b The $A^1\Sigma^+$ - $X^1\Sigma^+$ band system of the potassium hydride (KH and KD) molecules. Pardo, A.; Camacho, J. J.; Poyato, J. M. L.; Martin, E. (Fac. Cienc., Univ. Auton. Madrid, Madrid, Spain 28049). *Chem. Phys.*, 1987, 117(1), 149-62. (Eng). The mol. consts. of the $A^1\Sigma^+$ and $X^1\Sigma^+$ states of the KH and KD mols. were detd. using mass relations correspondent to a normal isotope shift. For that calcn., data were used of the laser-induced fluorescence spectrum by the Ar⁺ 4881 Å exciting line as well as previous data presented by other authors. From the spectroscopic terms, quantum-mech. PMO-RKR-van der Waals hybrid potentials were generated. Numerical calcns. for the $A^1\Sigma^+$ and $X^1\Sigma^+$ states of the KH and KD species were compared with quantum-mech. values obtained by numerical soln. of the radical Schrödinger equation. Vibrational wave functions appropriate to the potential curves yield values of E_v and B_v which are in close agreement with the exptl. results. The probability distribution functions and Franck-Condon factors for the $A^1\Sigma^+ \leftrightarrow X^1\Sigma^+$ band system were also detd. The anomalous behavior of the A state is clearly revealed with a changed anharmonicity for the lowest vibrational levels.

C.A. 1987, 107, N22

KH

07.27.935

1987

5 Б1212. Система полос $A^1\Sigma^+ - X^1\Sigma^+$ молекул KH и KD. The $A^1\Sigma^+ - X^1\Sigma^+$ band system of the KH and KD molecules. Pardo A., Camacho J. J., Poyato J. M. L., Martin E. «Chem. Phys.», 1987, 117, № 1, 149—162 (англ.)

Выполнен совместный анализ спектров поглощения, испускания и лазерной флуоресценции, связанных с переходом $A^1\Sigma^+ - X^1\Sigma^+$ молекул KH и KD. Приведены значения коэф-тов Данхема $Y_{j \leq 6, k=0,1}$ для состояний $A^1\Sigma^+$ и $X^1\Sigma^+$ молекулы ^{39}KH , а также модифицированные в рамках модели возмущенного осциллятора Морзе (ВОМ) коэф-ты $Y_{jk}(0)$, $Y_{jk}(2)$, $Y_{jk}(4)$ ($Y_{jk} = \sum Y_{jk}^{(2l)}$). Рассчитаны значения $E_v = G(v) + Y_{00}$, B_v , $R_{\min.}$, $R_{\max.}$ для потенциальных кривых состояний $A^1\Sigma^+$ и $X^1\Sigma^+$, описываемых гибридным потенциалом ВОМ-РКР-Вандер-Ваальса (приведены значения параметров ф-ций).

187(4)KD

Х. 1988, 19, N 5

потенциальной энергии). Полученные E_v и B_v согласуются со значениями, найденными в результате численного решения радиального ур-ния Шредингера для указанных состояний. Приведены коэф.-ты аппроксимантов Падé. Табулированы рассчитанные значения факторов Франка-Кондона для переходов $A^1\Sigma^+ (v'=0-34) - X^1\Sigma^+ (v''=0-11)$. $(J'=J''=0)$. B. M. Kovba

mp
rator

КН

Лам. 27935

1987

2 Д69. Система полос $A^1\Sigma^+ - X^1\Sigma^+$ молекул КН и KD. The $A^1\Sigma^+ - X^1\Sigma^+$ band system of the KH and KD molecules. Pardo A., Camacho J. J., Poyato J. M. L., Martín E. «Chem. Phys.», 1987, 117, № 1, 149—162 (англ.)

На основании анализа возбуждаемого аргоновым лазером спектра флуоресценции КН определены вращательные и колебательные коэф. Y в ф-ции Данхема в состояниях $X^1\Sigma^+$ и $A^1\Sigma^+$ молекулы ^{39}KH . С помощью изотопич. соотношений найдены значения Y молекулы ^{39}KD . Приводятся ф-лы, выражющие колебательные энергии E_v и вра-

М.Л.

о.р. 1988, 18, № 2

щательные постоянные B_v через Y и колебательное квантовое число v . Ф-ции потенц. энергии

имеют вид $U_0(r) = D_e \left(J^2 + \sum_{l=1}^{12} b_l y_l \right)$ и, при больших r ,

$$U_0(r) = C_0 + \sum_{i=6}^{12} C_i / r_i, \text{ где } y = 1 - \exp[-a(r - r_e)], \text{ коэф.}$$

b_i определяются по значениям Y , значения r_e находятся из величин B_v , а коэф. C вычисляются по методу Ридберга — Клейна — Риса. С ф-циями $U_0(r)$ решено колебательно-вращательное ур-ние Шрёдингера и вычисленные E_v , B_v очень близки к их эмпирич. значениям. Приводятся численные значения E_v , B_v , a , D_e , r_e , коэф. Y , b , C для обоих электронных состояний КН и КД. Для переходов с уровней $v' = 0 \div 34$ на уровни $v'' = 0 \div 23$ в КН вычислены факторы Франка — Кондона.

М. А. Ковнер

KH

1987

109: 29336k Laser-induced fluorescence and electronic potentials.
Pardo, A.; Poyato, J. M. L.; Camacho, J. J.; Martin, E. (Fac. Cienc., Univ. Auton., Madrid, Spain). *Rev. R. Acad. Cienc. Exactas, Fis. Nat. Madrid* 1987, 81(2), 389-92 (Span). Mol. consts. of the $X^1\Sigma^+$ and $X^1\Sigma^+$ states of the KH and H₂ mols. were detd. For KH, data were used from the laser induced fluorescence spectrum as well as the previous data presented by other authors. For H₂, I. Dabrowski's (1984) data were used. From the spectroscopic terms, electronic potentials were generated. The calcd. potentials were checked by solving numerically the radial Schroedinger equation. The vibrational eigenvalues and B_v values are in good agreement with the exptl. data.

M.N., X¹ Σ

H₂

C.A. 1988, 109, N4

КН

1987

1 Л413. Поведение интенсивности спектра лазерно-индуцированной флуоресценции молекулы КН. The intensity behaviour of the laser-induced fluorescence spectrum in the KN molecule. Raldo A., Rojato J. M. L., Camacho J. J. «Spectrochim. acta», 1987, A43, № 5, 679—687 (англ.). Место хранения ГПНТБ СССР

Методом лазерно-индуцированной флуоресценции исследованы столкновительные процессы с переносом колебательной и вращательной энергии в газообразной смеси КН и водорода при т-ре 700 К и давлении 10—20 Тор. Измерены интенсивности линий в спектре ЛИФ $A^1\Sigma^+ - X^1\Sigma^+$ КН. Одновременно рассчитаны коэф. Франка — Кондона, при этом потенц. кривые обоих состояний A и X получены модифицированным методом РКР. На основании экспериментальных и теоретич. данных рассчитана зависимость электронного момента перехода от колебательного квантового числа и заселенности вращательных уровней колебательного состояния $v' = 7$.

Е. П. Смирнов

сб. 1988, 18, № 1

КМ

1987

2 Б1164. Распределение интенсивности в спектре лазерной флуоресценции молекулы КН. The intensity behaviour of the laser-induced fluorescence spectrum in the KN molecule. Pardo A., Poyato J. M. L., Samacho J. J. «Spectrochim. acta», 1987, A43, № 5, 679—681 (англ.). Место хранения ГПНТБ СССР

Измерен спектр флуоресценции молекулы КН (переход $A^1\Sigma^+ - X^1\Sigma^+$), возбуждаемый Аг⁺-лазером (488,0 нм). Помимо прогрессии дублетов, связанных с переходами из непосредственно возбуждаемого состояния молекулы, в спектре наблюдалось большое число сателлитных линий, возникающих в результате процессов переноса колебат. и вращат. энергии при столкновениях. рассчитаны потенциальные кривые РКР для обеих электронных состояний и приведены значения $G_v + Y_{co}$, R_{\min} , R_{\max} . ($v_A = 5-8$, $v_X = 0-4$). Даны также факторы Франка — Кондона для наблюдаемых полос системы ($v_A = 5-8 - v_X = 0-4$). Относит. величина момента перехода (R_c^2) линейно зависит от v'' (значения R_c^2 равны соотв. 0,64; 0,76; 0,88; 1,0 для $v'' = 1-4$).

М.Л.

Х.1988, 19, № 2

В. М. Ковба

KH

1987

107: 67140s The intensity behavior of the laser-induced fluorescence spectrum in the potassium monohydride molecule.
Pardo, A.; Poyato, J. M. L.; Camacho, J. J. (Fac. Cienc., Univ. Auton. Madrid, Madrid, Spain 28049). *Spectrochim. Acta, Part A* 1987, 43A(5), 679-81 (Eng). Collisional processes involving changes in rotational and vibrational quantum nos. are detected in the laser induced fluorescence spectrum of KH. The knowledge of the Franck-Condon factors in the involved transitions allows to evaluate a relative variation of R_e^2 vs. the v'' vibrational quantum no. In the same context a population anal. was made for the $v' = 7$ vibrational level.

(Ref)

C.A. 1987, 107, n.s

KK

(M. 28 458)

~1987-88

Pardo A., Poyato J.M.h.,
et al.,

XI Σ^+ ,
u.n.

Comunicaciones A La
Academia.

Fluorescencia • inducida por

Láser y potenciales eléctricos.

KH

0M28262

1987

108: 119232r Calculated potential energy curves for low-lying electronic states of the potassium hydride and rubidium hydride molecules. Ross, Amanda; Bussery, Beatrice; Jean Gwang Hi; Bacchus-Montabonel, Marie Christine; Aubert-Frecon, Monique (Lab. Spectrom. Ion. Mol., Univ. Lyon I, F 69622 Villeurbanne, Fr.). *J. Chim. Phys. Phys.-Chim. Biol.* 1987, 84(6), 745-50 (Fr). The potential-energy curves and several spectroscopic consts. for the 18 lowest-lying mol. states of KH and of RbH were calcd. by using the previously described (J., et al., 1983) method which involves nonempirical at. pseudopotentials for K and Rb, a CI calen. using the CIPSI algorithm for the valence electrons, and a 2nd-order perturbation calcn. to take into account core polarization as well as core-valence correlation effects. The calcd. curve for the ground state of KH is in excellent agreement with the most recent Rydberg-Klein-Rees curve obtained from exptl. results. The ionic character of the ground state is discussed. Excited states are essentially dissociative due to the distribution of the valence electrons, which is sp. to the alkali hydrides.

⑦ ⑧

RbH

C.A. 1988, 108, N 14

КМ

0728262

1984

5 Д57. Расчет кривых потенциальной энергии для низших электронных состояний КН и RbH. Courbes d'énergie potentielle calculées pour les états électroniques les plus bas de KH et RbH. Ross Amanda, Bussery Béatrice, Jeung Gwang-Hi, Bacchus-Montabonel Marie-Christine, Aubert-Frécon. «J. chim. phys. et phys.-chim. biol.», 1987, 84, № 6, 745—750 (фр.; рез. англ.)

Неэмпирическим методом ССП МО ЛКАО с учетом КВ в валентной оболочке и с использованием псевдо-потенциала Дюрана рассчитаны потенц. кривые для 18 низших электронных состояний КН (I) и RbH (II). Приведены спектроскопич. постоянные T_e , ω_e , R_e и D_e . Колебат. частоты для основных состояний равны 979,44 см^{-1} (986,65 — эксперим. значение) и 870,72 (936,94), длины связей 1,066 ат. ед. (4,233) и 4,30 (4,47), энергия диссоциации 14990,2 см^{-1} (14,777) и 14 100 для I и II соответственно. Возбужденные состояния найдены диссоциативными.

В. Л. Лебедев

(4)
18

Ф. 1988, 18, N 5

КН

DM 28262

1987

9 Б1030. Кривые потенциальной энергии, рассчитанные для наиболее низких электронных состояний КН и RbH. Courbes d'énergie potentielle calculées pour les états électroniques les plus bas de KH et RbH. Ross A., Bussery B., Jeung Gwang-Hi, Bacchus-Montabonel Marie-Christine, Aubert-Frecon M. J. chim. phys. et phys.-chim. biol.», 1987, 84, № 6, 745—750 (фр.; рез. англ.)

Методом конфигурац. взаимодействия для молекул КН и RbH рассчитаны потенциальные кривые 18 низших электронных состояний типов ${}^1\text{S}^+$, ${}^1\text{P}$ и ${}^1\text{D}$. При расчетах явно учтены лишь два валентных электрона. Для описания остовых электронов использован неэмпирич. псевдопотенциал; поляризация остова и корреляция между валентными и остовными электронами учтены по теории возмущений второго порядка для Rb псевдопотенциал включал релятивистские поправки. Приведены таблицы значений энергии как ф-ции межъядерного расстояния и обсужден ионный характер основного состояния.

Б. И. Жилинский

Х. 1988, 19, № 9

KH(2) (OM. 30854) 1988

Farber et al., Srivastava R.D.,
High Temp.-High Pressures.

1988, 20, N2, 119-140.

Do; Mass-spectrometric determina-
tion of thermodynamic data
for potassium compounds
and several other species

occurring in LHD combustion
systems.

КН

1988

7 Д77. Исследование моногидридов и монооксидов элементов главных подгрупп от К до Вг с использованием псевдопотенциалов. Pseudopotential study of monohydrides and monooxides of main group elements K through Br / Igel-Mann G., Stoll H., Preuss H. // Mol. Phys.— 1988.— 65, № 6.— С. 1329—1336.— Англ.

Неэмпирическим методом ССП ЛКАО с учетом конфигурац. взаимодействия с использованием полученных ранее псевдопотенциалов исследовано электронное строение XH и XO, где X=K, Ca, Ga, Ge, As, Se, Br. Приведены равновесные длины связей, колебательные частоты, энергии диссоциации. Для XH длины связей занижены по сравнению с эксперим. значениями, но не более чем на 0,03 Å, исключая GaH, для которого наблюдается небольшое завышение. Энергии диссоциации также несколько завышены, но не более чем на 0,4 эВ. Частоты согласуются с эксперим. значениями с точностью 80 см^{-1} . Для оксидов отклонения рассчитанных

М.11

FB

✓

φ. 1989, N 7.

длин связей не превышают 0,05 Å, энергии диссоциации в основном несколько занижены, а отклонение для частот достигает 150 см⁻¹. Результаты в целом согласуются по точности с данными трудоемких полных неэмпирич. расчетов.

В. Л. Лебедев



KK

(DM. 29709)

1988

neop.
paerem
 $A^{1\sigma^+} u X^{1\sigma^+}$
coomath.
M.N.

Pardo A., Camacho J.J.
et al.,
J. Mol. Struct. Theo-
chem. 1988, 166, 181-186

Electronic
of alkali

potentials
hydrides.

KH

09-29766

1988

109: 158906d New self-consistent potentials for the X Σ^+ , A Σ^+ states of potassium hydride. Pardo, A.; Camacho, J.; Poyato, J. M. L.; Martin, E.; Reyman, D. (Fac. Ciencias Autonoma Madrid, Madrid, Spain 28049). *J. Mol. Struct.* 175, 209-14 (Eng). The vibrational and rotational mol. constants detd. for the A Σ^+ - X Σ^+ system of KH. From these exptl. values, isotopically combined PMO-Pydberg-Klein-Rees-van der Waals potentials were constructed, which were checked by the integration of radial Schrödinger equation. As an addnl. check on the accuracy of the potentials, the wavefunctions were used to compute B_v , D_v , H_v and L_v values. The agreement between the calc. and exptl. results is quite satisfactory. Franck-Condon overlap integrals and probability d. distributions were calcd. The anomalous behavior of the A Σ^+ state may be obsd. in the probability functions of the lowest vibrational levels.

ROMEHLS. KPLB.

M-N

C.A. 1988, 109, N18

KL

[om. 31282]

1988

Rahman A., Hasar M.M.,

Inst. Noem., Indian J. Pure and Appl.
UK, Phys. 1988, 26, N6, 400-404.
Darmaw.,
 θ_0^0, θ_0
(meop. pacrem)

КМ

(О.н. 31283)

1989

Мусаев Д.Р., Чаркиев О.Н.,

кошмар,

РММН

1989

Журнал,

контрольный
расчет

Координаты. Херсон,
1989, 15, N 2, 14-169

KK

от 28.6.27

1988

13 Б4310. Точные значения энергий диссоциации сд⁰ состояний $X^1\Sigma^+$ молекул КН и CsH. Accurate dissociation energies for the $X^1\Sigma^+$ states of KN and CsH. Zemke W. T., Stwalley W. C. «Chem. Phys. Lett.», 1988, 143, № 1, 84—90 (англ.)

С использованием лит. данных по возбуждаемой лазером Фл КН и CsH рассчитаны кривые потенциальной энергии (КПЭ) этих молекул. Отмечается, что точный расчет КПЭ основного состояния $X^1\Sigma^+$ гидридов щел. металлов затруднен из-за квазипересечения ионного и ковалентного состояний. Авторы используют новый, гибридный, Пт: при малых межатомных расстояниях (r меньше 2,9 или 3,4 ат. ед. для КН или CsH) используются результаты неэмпирич. расчетов, в обл. минимума КПЭ — Пт Ридберга—Кляйна—Риса. Поведение при больших r , определяющее энергию диссоциации (D_e , отсчет от минимума КПЭ), находят, варьируя D_e и каждый раз вычисляя ширину уровня $v''=23, J''=0$.

До;

(4)

X. 1988, 19, N 13

и его расстояние до соседних уровней; из сопоставления с эксперим. находят значение D_e , при к-ром теорет. и эксперим. ширина и расстояние совпадают (вращат. предиссоциация обнаруживается для уровня $v''=23$, $J''=7$). Получено: для КН $D_e=14772,7 \pm 0,6$, $D_0=14282,6$; для CsH $D_e=14791,2 \pm 2,0$; $D_0=14348,5 \text{ см}^{-1}$.

Р. Ф. Васильев

ЖМ

от. 28627

1988

6 Д65. Точные энергии диссоциации основных состояний $X^1\Sigma^+$ молекул КН и CsH. Accurate dissociation energies for the $X^1\Sigma^+$ states of KN and CsH. Zemke Wаггел T., Stwalley William C. «Chem. Phys. Lett.», 1988, 143, № 1, 84—90 (англ.)

Из сравнения рассчитанных и наблюдаемых ширин линий колебательно-вращательных спектров молекул КН и CsH скорректированы значения энергий диссоциаций их основных электронных состояний, которые составили $14\,772,7 \pm 6$ и $14\,791 \pm 2,0$ см⁻¹, соответственно. Потенц. ф-ции молекул определялись сплайновой аппроксимацией при малых межъядерных расстояниях (R) потенц. кривой, полученной в неэмпирич. квантовохимич. расчетах, в районе минимума РКР-кривой и ван-дер-вальсова потенциала при больших R . Для КН рассматривалась ширина линии уровня $v''=23$, $J=7$, для GH— $v''=25$, $J=11$.

А. И. Дементьев

(H) X

Ф 1988, 18, N 6

KH

(000 28627)

1988

108: 156787w Accurate dissoceiation energies for the $X^1\Sigma^+$ states of potassium hydride and cesium hydride. Zemke, Warren T.; Stwalley, William C. (Dep. Chem., Wartburg Coll., Waverly, IA 50677 USA). *Chem. Phys. Lett.* 1988, 143(1), 81-99 (Engl.). New hybrid potential-energy curves for the ground states of KH and CsH were constructed. Then for obsd. quasibound states ($v'' = 20$, $J'' = 7$ in KH; $v'' = 25$, $J'' = 11$ in CsH), energies and line widths for varying dissoen. energies D_e were calcd. Based on a comparison of calcd. and obsd. line widths, improved D_e values were detd.: for KH, $D_e = 14,772.7 \pm 0.6 \text{ cm}^{-1}$ ($D_0 = 14,282.6 \text{ cm}^{-1}$); for CsH, $D_e = 14,794.2 \pm 2.0 \text{ cm}^{-1}$ ($D_0 = 14,348.5 \text{ cm}^{-1}$).

Do

④ ~~④~~ CsH

C.A. 1988, 108, N18

KH (32814) [OM 33530] 1989

KD Ali M.S., Hasan M.M.,
meop. Indian J. Phys. B 1989,
pacrem 63, N.Y, 486-490.

A new interaction potential al-
kali hydride molecules.

KH

1989

Boca R.

Int. J. Quantum. Chem.

1989. 36, N 6. C. 727 - 739.

(corr. \bullet NaH; \underline{II})

KK

(OM-32829)

1989

Tamassy - Lertei I.,
Derepalki - Kovacs A.,

Do., y,
nomerel.

Krub.,
Ocreber.

coauthor; Pseudopotential Investi-
meopem. gation of some Alkali
pacem metal molecules.

Int. J. Quantum Chem.
1989, 36, N3, 277-285

KH

KH⁺

KH⁻

CREMPT,

M.H.,

ROMMELLS.

KLUWER

(OM. 35668)

1991

Stwalley W.C., Zemke W.T.,
Yang S. Ch.,

J. Phys. and Chem. Ref.
Data, 1991, 20, N1, 153-
-187.

1991

17 Б1031. Исследование точности приближения СК12+3(СК12). Электрические свойства КН и RbH. A study of the accuracy of the CCSD+T(CCSD) approximation. Electric properties of KN and RbH / Urban Miroslav. Sadlej Andrzej J. // J. Chem. Phys.— 1991.— 95, № 7.— С. 5490—5491.— Англ.

На примере расчета электрич. св-в молекул КН и RbH исследована точность метода связанных кластеров с учетом одно- и двукратных возбуждений и с нетераци. оценкой вкладов трехкратных возбуждений (метод СК12+3(СК12)). Дипольный момент и компоненты дипольной поляризуемости молекул КН и RbH рассчитаны по теории возмущений Меллера—Плессета различных порядков и различными вариантами метода связанных кластеров. Использованы большие базисы, позволяющие учесть поляризац. эффекты, индуцированные электрич. полем: $(6s4p)/[3s2p]$ на H, $(15s13p4d)/[9s7p4d]$ на K и $(18s15p10d)/[11s9p4d]$ на Rb. В рамках метода связанных кластеров трехкратные возбуждения дают значит. вклад в электрич. свойства.

А. А. Сафонов



Х-1992, № 17

KH

1993

Essig Kay, Urban
Rolf Dieter, et al.

U. R., Z. Naturforsch., A: Phys.
Kernspin Sci. 1993, 48 (II), 1111-14.

(see Na^D; II)

KIC

[OM 37237]

1993

Rafi M., Ali N., et al.,

(a.n., 80) J. Phys. B: At. Mol.
Opt. Phys. 1993, 1129 -
1134.

KH

1995

123: 20766r Observation of the rotational spectrum of KH using a tunable far-infrared spectrometer. Odashima, Hitoshi; Wang, Dongbing; Matsushima, fusakazu; Tsunekawa, Shozo; Takagi, Kojiro (Dep. Phys., Toyama Univ., Toyama, Japan 930). *J. Mol. Spectrosc.* 1995, 171(2), 513-17 (Eng). Pure rotational transitions of KH were obsd. for the first time using a tunable far-IR spectrometer. Transition frequencies of R(J) with J = 0 to 12 were measured with an accuracy better than hundreds of kHz. These precise data have enabled us to det. improved rotational parameters of KH.

(francis creipp)

C.A. 1995, 123, N2

KH

1996

Ket. KpII b2g
 $A^1\Sigma^+$ core.

J. Phys. B, Atom, Mol. Opt. Phys.
1996, 29, 114, p. NS33

КН

1996

23Б132. Кривая потенциальной энергии Ридберга—Клейна—Риса для $A^1\Sigma^+$ -состояния КН. The Rydberg—Klein—Rees potential energy curve of the $A^1\Sigma^+$ state of KN / Rafi M., Al-Tuwirqi Reem, Fayyazuddin // J. Phys. B.—1996.—29, № 14.—C. L533—L536.—Англ.

С использованием новейших спектроскопических данных уточнены форма кривой потенциальной энергии Ридберга—Клейна—Риса и спектроскопические постоянные состояния $A^1\Sigma^+$ молекулы KN с v от 27 до 38.

Е. В. Борисов

Х.1997, №23

KH

1996'

125: 259774v The Rydberg-Klein-Rees potential energy curve of the A $^1\Sigma^+$ state of KH. Rafi, M.; Al-Tuwirqi, Reem; Fayyazuddin (Phys. Dep., King Abdul Aziz Univ., Jeddah, Saudi Arabia). *J. Phys. B: At., Mol. Opt. Phys.* 1996, 29(14), L533-L536 (Eng). New spectroscopic data were used to extend the Rydberg-Klein-Rees potential energy curve of the A $^1\omega^+$ state of the KH mol. from v = 27 to 38.

(A $^1\Sigma^+$)
ROMERS. 9-ml



C. A. 1996, 125, N 20

Kr

Un. 39072

1997

Hironici il., et al.,

J. Mol. Spectr., 1997,
413-414, 457-462.

Analysis of vibration-
rotational spectra of KrH

KH

1997

romers.
Dakkena.
M.N.

127: 363632z Analysis of vibration-rotational spectra of KH. Uehara, Hiromici; Horiai, Kouji; Konno, Toichi (Department of Chemistry, Faculty of Science, Josai University, Keyakidai, Sakado, Saitama, Japan). *J. Mol. Struct.* 1997, 413-414, 457-462 (Eng), Elsevier. A modified Dunham potential model developed recently was applied to the anal. of vibration-rotational spectra of KH. The spectral data set consisted of 107 lines from the literature and an addnl. 12 lines measured of KD. In total 119 spectral lines for 4 isotopomers were simultaneously fitted to a single set of only 11 mol parameters, $U_{..}$, U_B , a_1 , a_2 , a_3 , a_4 , a_5 , $\Delta_{..}^H$, Δ_B^H , r_0^H , and Δ_{a1}^H , well within exptl. errors. Values of ω (³⁹KH) and r_0 within the Born-Oppenheimer approxn. are 986.6484(41) cm⁻¹ and 224.0164(10) pm, resp., assuming that $\Delta_{..}^K$ and Δ_B^K are equal to zero.

C.A. 1997, 127, N 26

KH

1998

130: 73254y Analysis and transition probabilities of the A $1\Sigma^+$ X $1\Sigma^+$ system of KH excited by the 4880 Å line of the argon ion laser. Camacho, J. J.; Poyato, J. M. L.; Pardo, A.; Reyman, D. (Facultad de Ciencias, Departamento de Quimica-Fisica Aplicada, Universidad Autonoma de Madrid, Cantoblanco, Madrid, Spain 28049). *J. Chem. Phys.* 1998, 109(21), 9372-9383 (Eng), American Institute of Physics. The fluorescence spectrum of KH induced by the 4880 Å line of an Ar ion laser was analyzed. This work extends previous observations on K hydride in visible region by using this excitation line. Along with the principal fluorescence series for the A $1\Sigma^+$ X $1\Sigma^+$ band system, corresponding to the excitation transition, $v'=7$, $J=6$ $v''=0$, $J''=5$, the authors analyzed a very interesting satellite rotational and vibrational structure induced by collision. The radiative transition probabilities for the A $1\Sigma^+$ X $1\Sigma^+$ band system of KH were calcd. by using hybrid potential

($A^1\Sigma^+ - X^1\Sigma^+$)

C. A. 1999, 130, N6

energy curves for the X $^1\Sigma^+$ and A $^1\Sigma^+$ states and transition dipole moment function from the radiative lifetimes of different vibrational levels ($v'=5-22$ in the A $^1\Sigma^+$ state) reported by Giroud and Nedelec. The transition probabilities and lifetimes are in good agreement with the corresponding obsd. measurements usually within the exptl. uncertainty. Collision-induced rotational and vibrational energy transfer in the A $^1\Sigma^+$ state was studied. From the rotational and vibrational satellite-structure of some bands, cross sections for rotational and vibrational energy transfer were detd.

KK

1998

Farcia V.M. et al.,

γ , Ae,
 T_{t2} , neop.
pacem

J. Chem. Phys. 1998, 109
(2), 504-511.

(all $K, \bar{1}\bar{1}1$)

KR

[OM. 40230]

2000

Myo Sug Lee, Yoon Sue Lee
et al.,

Chem. Phys. Lett.,
2000, 325, 46-52.

Singlet and triplet Σ^+
excited states of NaH and

KH: undulating potential energy curves.

KH

2000

сюжетно

и

камеры 403-406

Tamassy - Zentel I, et al;

THEOCHEM 2000, 501-502,

(all. H₂; III)

RH
Reem N. et al.,
J. Chem. Phys., 2001,
115(13), 5984-88
Hemmi,
Komoda,
Kao-ji-jaame
Guanig.
(all.  LiH; II)

2001

KFE

LM. 41320

2002

Neji Khetifi and
ab initio Brahim Dujia,
panis

J. Chem. Phys., 2002,
116, N7, 2879 - 2887

Ab Initio adiabatic
and diabatic energies and

depole moments of the HH no
leavle